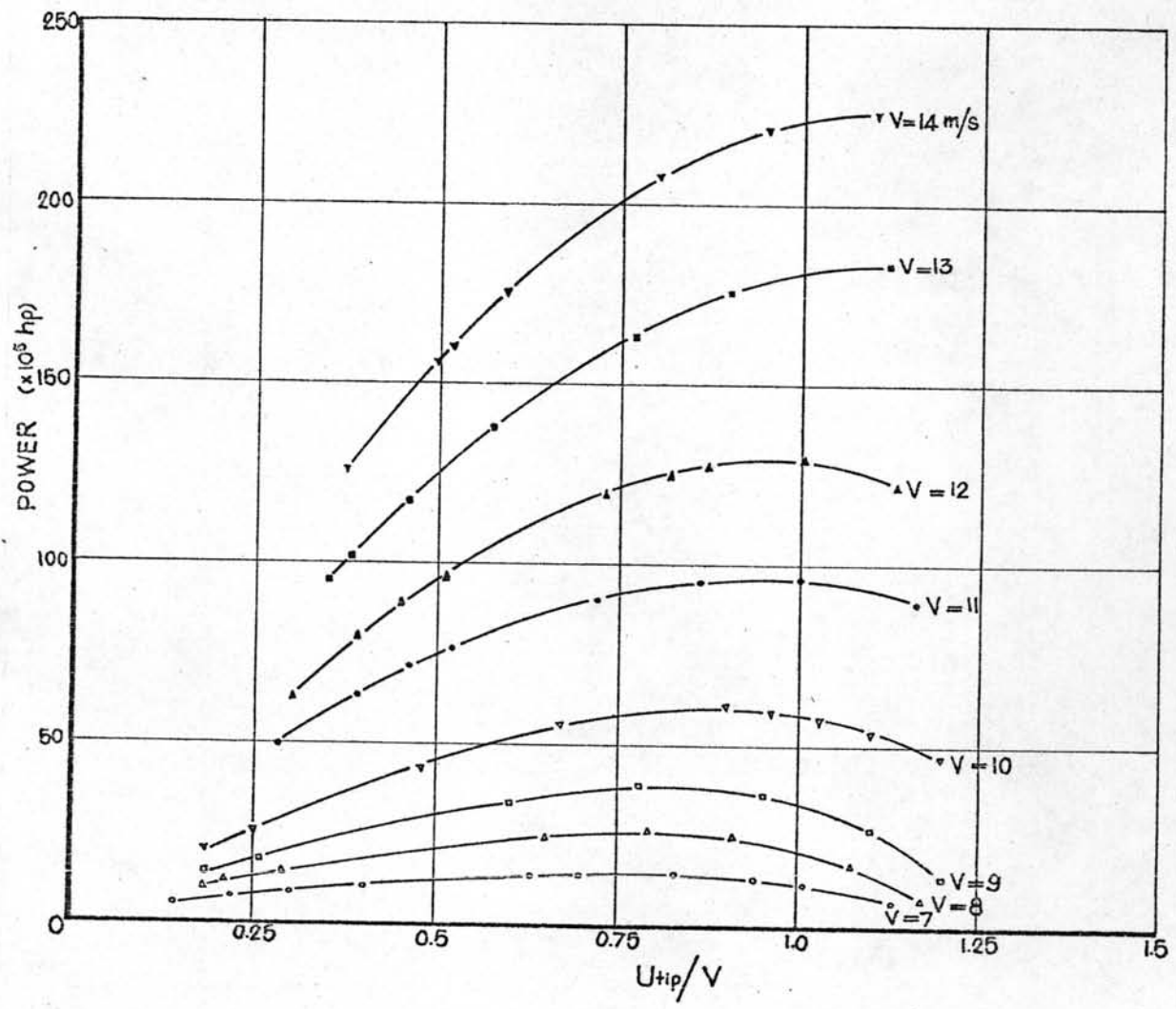
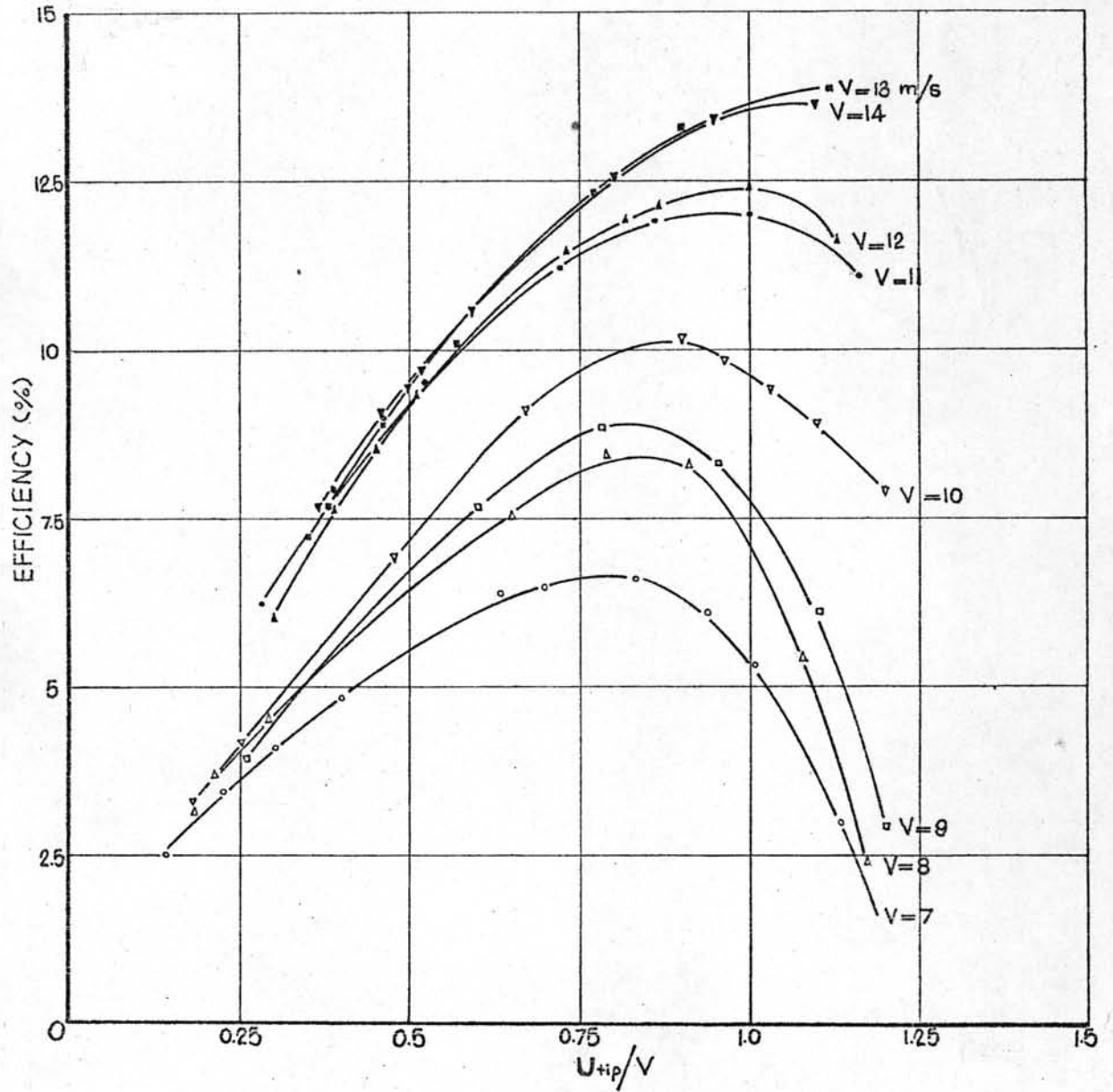


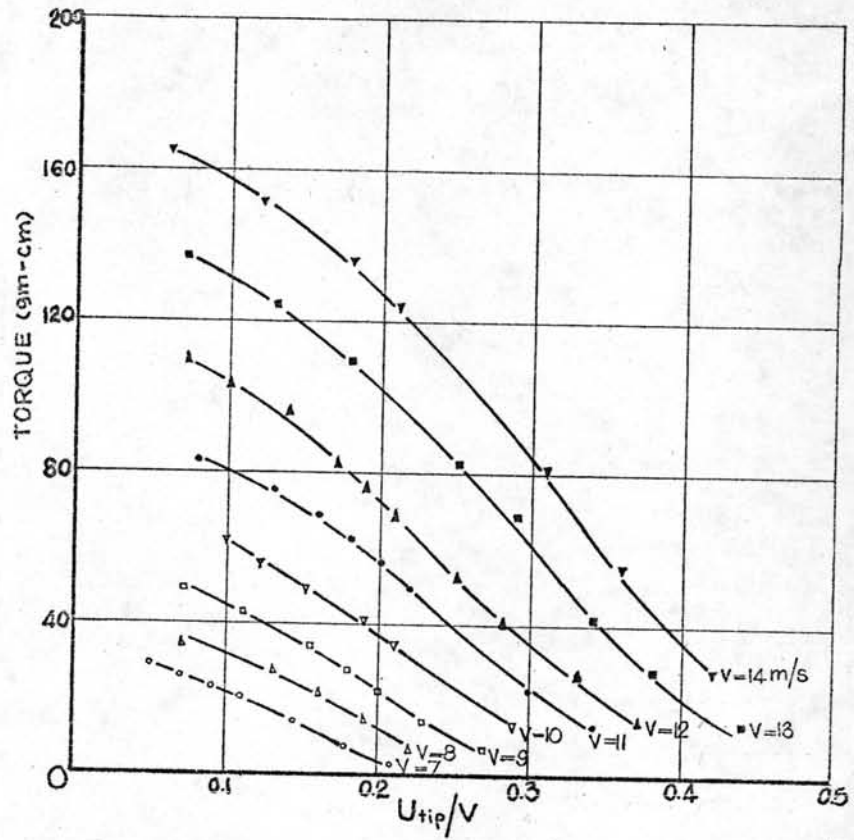
รูปที่ 22 กราฟแสดงความสัมพันธ์ระหว่าง แรงบิด(torque) กับ ความเร็วเชิงเส้นที่ปลายใบรับลม/ความเร็วลม(U_{tip}/V) ของ กังหันลมแบบที่1 "Savonius"



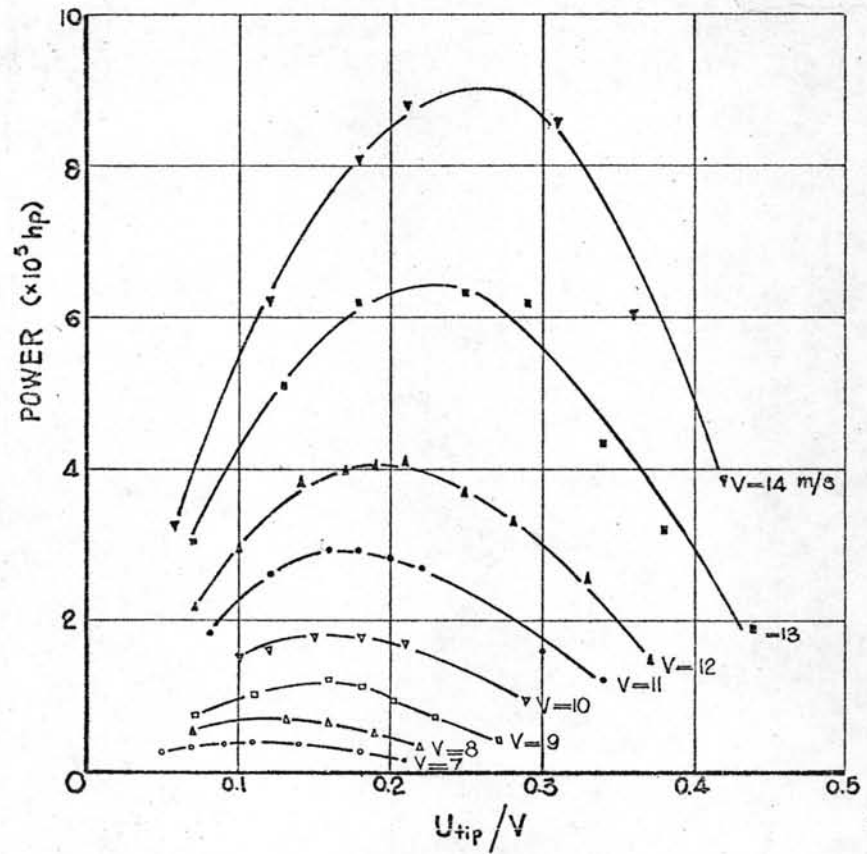
รูปที่ 23 กราฟแสดงความสัมพันธ์ระหว่าง กำลังขาออก(power output) กับ ความเร็วเชิงเส้นที่ปลายใบรับลม/ความเร็วลม (U_{tip}/V) ของ กังหันลมแบบที่ 1 "Savonius"



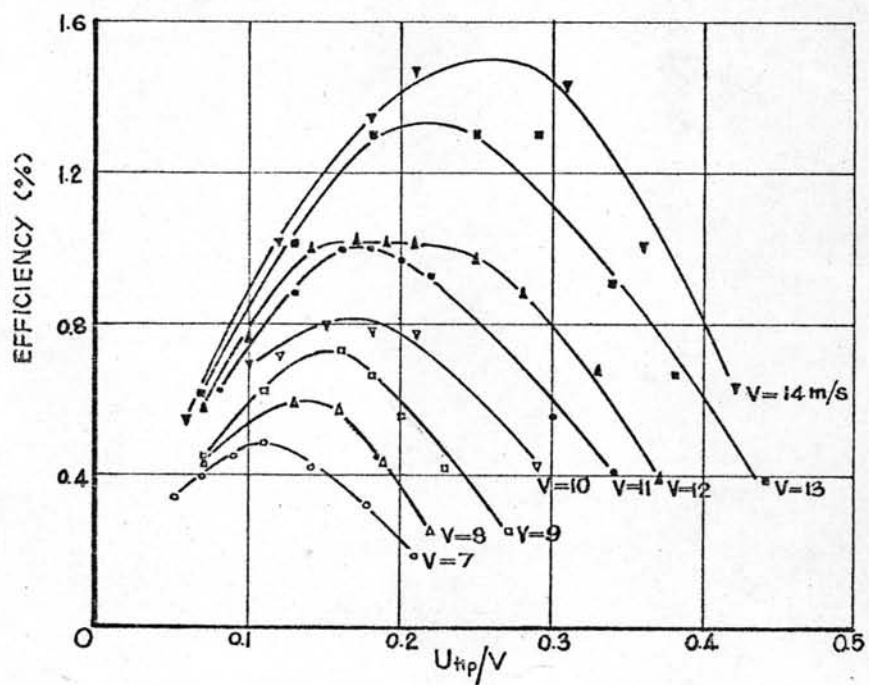
รูปที่ 24 กราฟแสดงความสัมพันธ์ระหว่าง ประสิทธิภาพ (efficiency) กับ ความเร็วเชิงเส้นที่ปลายใบรับลม/ความเร็วลม (U_{tip}/V) ของ กังหันลมแบบที่ "Savonius"



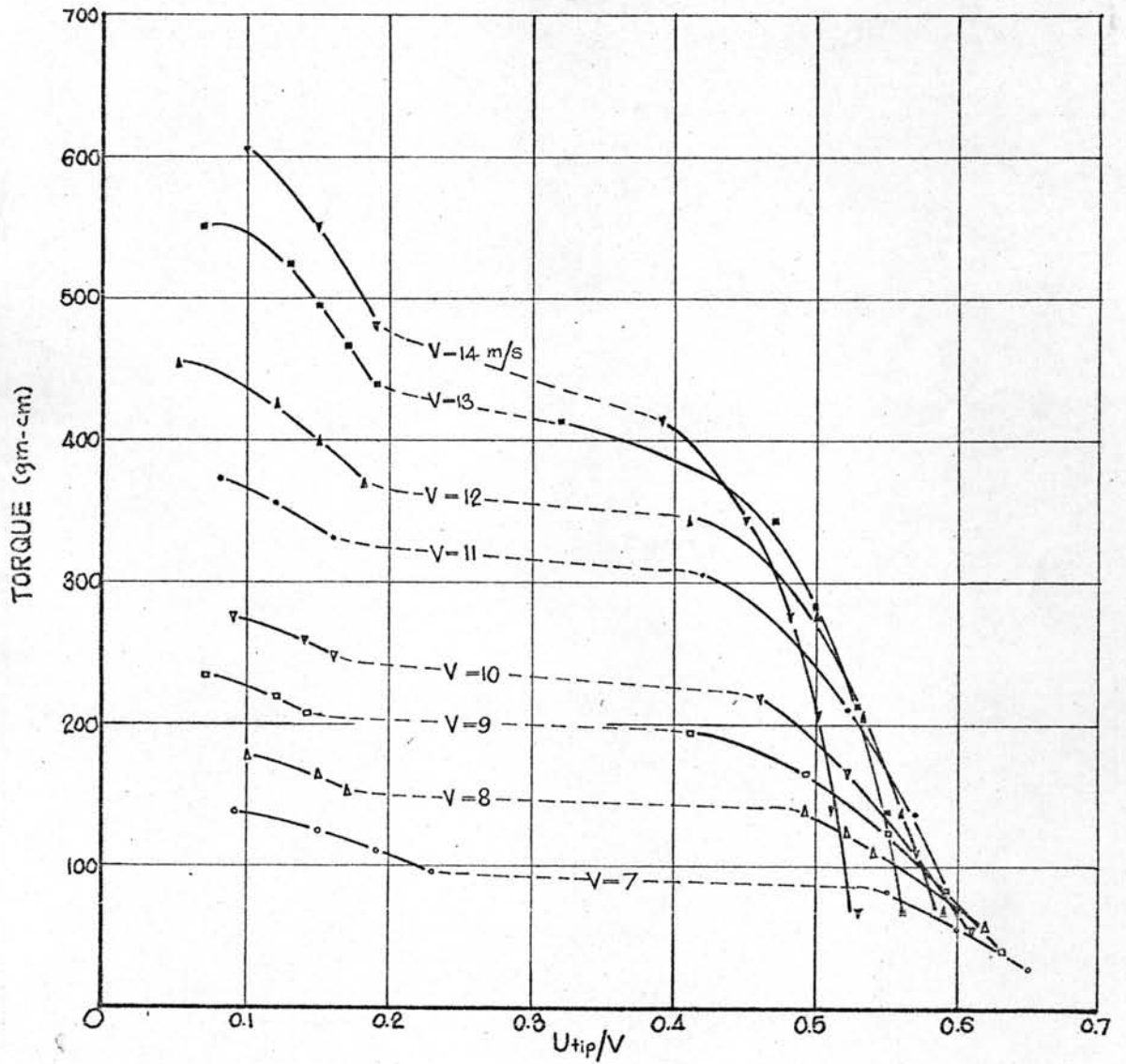
รูปที่ 25 กราฟแสดงความสัมพันธ์ระหว่าง แรงบิด(torque) กับ ความเร็วเชิงเส้นที่ปลายใบรับลม/ความเร็วลม(U_{tip}/V) ของกังหันลมแบบที่ 2 "Hybrid"



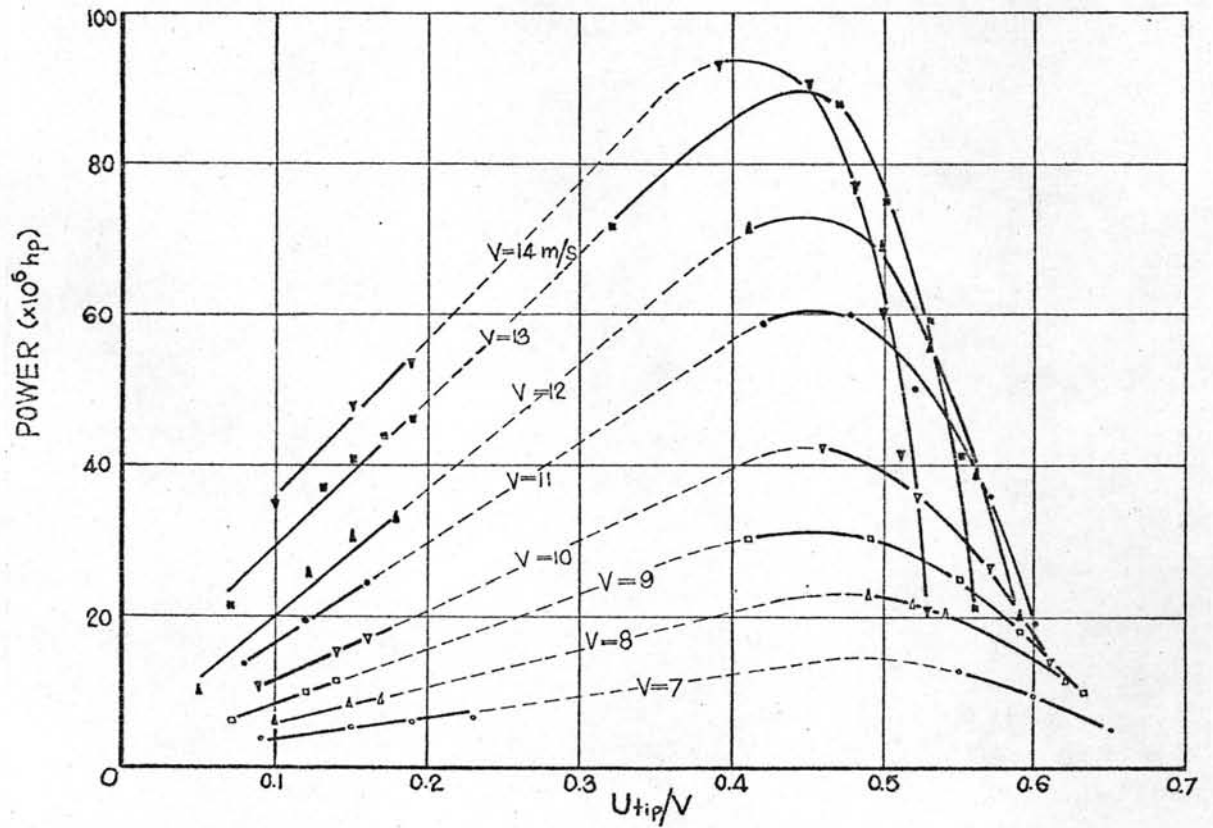
รูปที่ 26 กราฟแสดงความสัมพันธ์ระหว่าง กำลังขาออก(power out put) กับ ความเร็วเชิงเส้นที่ปลายใบรับลม/ความเร็วลม (U_{tip}/V) ของกังหันลมแบบที่ 2 "Hybrid"



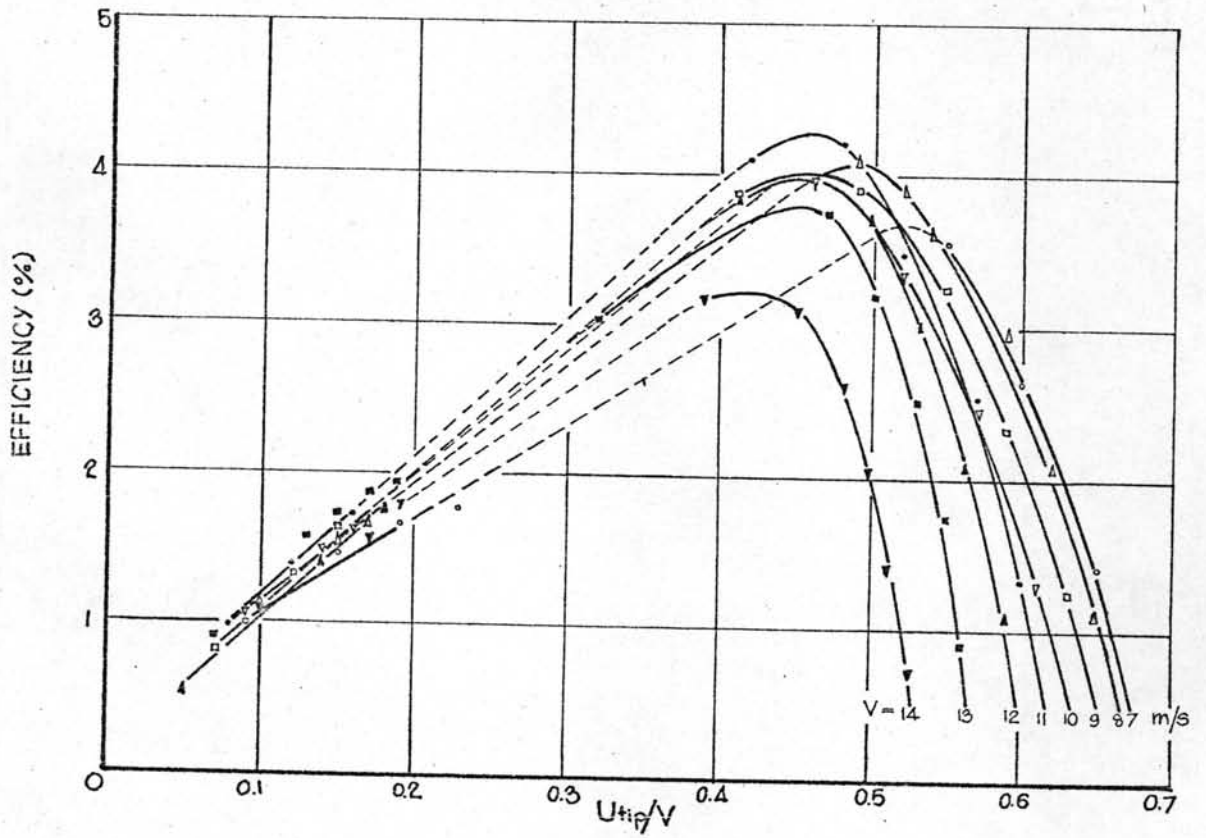
รูปที่ 27 กราฟแสดงความสัมพันธ์ระหว่าง ประสิทธิภาพ (efficiency) กับ ความเร็วเชิงเส้นที่ปลายใบรับลม/ความเร็วลม (U_{tip}/V) ของกังหันลมแบบที่ 2 "Hybrid"



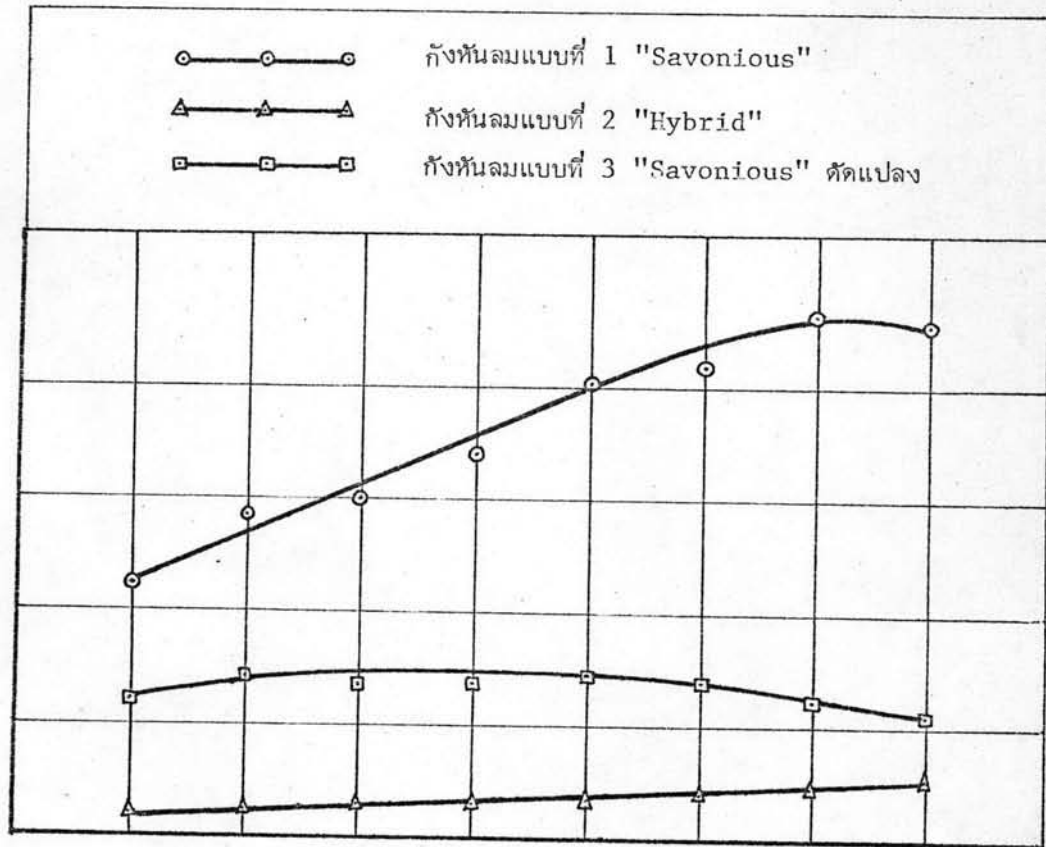
รูปที่ 28 กราฟแสดงความสัมพันธ์ระหว่าง แรงบิด (torque) กับ ความเร็วเชิงเส้นที่ปลายใบรับลม/ความเร็วลม (U_{tip}/V) ของ กังหันลมแบบที่ 3 "Savonius" ที่ดัดแปลง



รูปที่ 29 กราฟแสดงความสัมพันธ์ระหว่าง กำลังขาออก(power out put) กับ ความเร็วเชิงเส้นที่ปลายใบรับลม/ความเร็วลม (U_{tip}/V) ของ กังหันลมแบบที่ "Savonius" ดัดแปลง



รูปที่ 30 กราฟแสดงความสัมพันธ์ระหว่าง ประสิทธิภาพ (efficiency) กับ ความเร็วเชิงเส้นที่ปลายใบรับลม/ความเร็วลม (U_{tip}/V) ของ กังหันลมแบบที่ 3 "Savonius" ดัดแปลง



รูปที่ 31. กราฟแสดงความสัมพันธ์ระหว่างประสิทธิภาพสูงสุดกับความเร็วลมของกังหันลมทั้ง 3 แบบ